УДК 547.651-128+541.672

ФИЗИЧЕСКАЯ ХИМИЯ

В. А. САЖНИКОВ, О. М. АНДРЕЕВ, М. В. АЛФИМОВ, Ю. А. КРУГЛЯК

СДВИГИ ПРИ МЕТИЛИРОВАНИИ И ПРИРОДА ДЛИННОВОЛНОВОГО ПОГЛОЩЕНИЯ ИОН-РАДИКАЛОВ АНТРАЦЕНА

(Представлено академиком В. Н. Кондратьевым 25 XII 1972)

В работе (¹) показано, что замещение атомов Н на метильные группы приводит к характерным сдвигам полос поглощения в спектрах пон-радикалов нафталина. Было отмечено, что сдвиги такого рода могут быть использованы, наряду с поляризацией переходов, для идентификации природы электронных полос поглощения. В настоящей работе этот метод применен для исследования спектров поглощения ион-радикалов антрацена в области 400—800 мµ. Ранее они уже были изучены в ряде работ как с экспериментальной, так и с теоретической точек эрения (²-¹0). Однако исследование спектров метилзамещенных антраценов позволяет дополнить и уточнить интерпретацию электронных полос поглощения катион- и анионрадикалов антрацена в этой области.

Анион- и катион-радикалы антрацена и метилантрацена получали путем γ-радиолиза замороженных при 77° К растворов этих соединений в 2-метилтетрагидрофуране и в хлористом пропиле соответственно (4, 5, 11, 12). Спектры поглощения регистрировали при 77° К на спектрометре «Unicam SP-800». Были изучены спектры ион-радикалов антрацена, 9-метилантрацена, 9,10-диметилантрацена, 2-метилантрацена и 2,3-диметилантрацена *. Были проведены также расчеты спектров ион-радикалов антрацена в рамках полуэмпирического метода ППП по программам, опубликованным

B (13).

Вид спектра γ -облученного раствора антрацена в пропилхлоридной матриню (рис. 1A, кривая I) совпадает с видом спектра катион-радикала антрацена (A^+) в CCl_4 (5), в борном стекле (8) и в FSO_3H/CH_2Cl_2 (9). Поэтому кривые 2 и 3 отнесены к спектрам поглощения катион-радикалов 9-метилантрацена (9-MeA $^+$) и 9,10-диметилантрацена (9,10-димеА $^+$) соответственно. Как видно, все спектры имеют хорошо разрешенную колебательную структуру, что позволяет следить за сдвигами отдельных пиков при сравнении кривых I, I и I и I хотя в интервале I и I поглощение I носит почти непрерывный характер, различия в интенсивностях отдельных максимумов позволяют условно выделить три области в спектре I первая область включает в себя интенсивные максимумы при I со I в районе I в расстояниями между ними приблизительно I в районе I в районе I в расстояниями при I в третьей области относится сравнительно питенсивная полоса с максимумом при I в мI в мI в районе I в районе I в районе I в расстояниями при I в расстояниями пропольниями при I в расстояниями при

Введение СН₃-группы в положение 9 (кривая 2) вызывает сдвиг всех максимумов в коротковолновую область. Однако величина этого сдвига неодинакова для разных областей: сдвиги равны приблизительно 700 см⁻¹ для первых двух максимумов и 1200 см⁻¹ для максимумов второй области. Эти значения возрастают соответственно до 1200 и 2200 см⁻¹ в случае 9,10-диМе Λ ⁺ (кривая 3), причем начинает проявляться колебательная

^{*} Авторы приносят глубокую благодарность проф. А. С. Черкасову (Ленинград) за предоставление метилпроизводных аптрацена.

структура максимумов первой области. Это осложняет соотнесение пиков. Максимум при 593 мµ следует отнести, вероятно, к системе пиков второй области; благодаря большему смещению он выдвигается из-под второго максимума. Сдвиг полосы A+ в районе 438 мµ при переходе к 9-МеA+ и 9,10-диМеA+ невелик, составляя 600 и 500 см-1 соответственно, вследствие чего в 9,10-диМеA+ сильно сдвинувшиеся максимумы второй области начинают перекрываться с этой полосой.

Спектр поглощения у-облученного раствора антрацена (рис. 1*B*, *1*) в 2-метилтетрагидрофуране совпадает со спектрами анион-радикала антра-

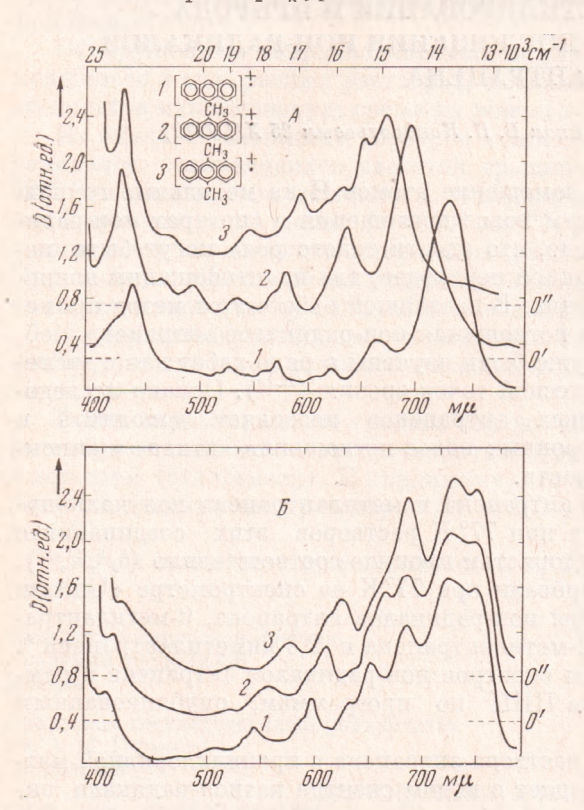


Рис. 1. Спектры поглощения γ -облученных растворов в пропилхлоридной матрице (A) и в 2-метилтетрагидрофуране (B) при 77° К. 1— антрацен, 2— 9-метилантрацен, 3— 9,10-диметилантрапен

цена (А-) в этой области (2, 4, 7, 9), поэтому кривые 2 и 3, подобные кривой 1, отнесены к спектрам поглощения анион-радикалов тилантрацена $(9-MeA^-)$ 9,10-диметилантрацена (9,10диМеА-). Еще более очевидна (рис. 1E) разница в сдвигах первых двух областей в случае анион-радикалов. Замещение в положении 9 вызывает сдвиг максимумов второй области на 400 см-1 в сторону больших длин волн, который увеличивается до 800 см⁻¹ в случае 9,10-ди-МеА-. Максимумы первой области А-, структура которой напоминает структуру первой области 9,10-диМеА+ расположенные при 748, 720 и 684 ми почти не смещаются совсем, вследствие чего один из максимумов второй сдвигаясь вправо, области, исчезает под более интенсивными максимумами первой области.

Таким образом, неравномерный характер сдвигов разных областей спектров A⁺ и A⁻ при метилировании в положениях 9 и 10 проявляется вполне отчетливо.

В работе (¹) было показано, что знак сдвига в данном ион-радикале может измениться на противоположный при изменении положения замещения. Аналогичный эффект наблюдается и для антрацена. Например, в анион-радикалах 2-метилантрацена и 2,3-диметилантрацена наибольшие батохромные сдвиги (хотя и небольшие по величине, 100—150 см⁻¹) претерпевают как раз длинноволновые максимумы, в то время как максимумы второй области почти не сдвигаются или испытывают даже небольшой гипсохромный сдвиг. В катион-радикалах этих соединений, в противоположность 9-МеА⁺ и 9,10-диМеА⁺ наблюдаются небольшие батохромные сдвиги обеих областей.

Как показано в (1, 11), батохромные и гипсохромные сдвиги в спектрах поглощения ион-радикалов нафталина и бутадиена могут быть в первом приближении объяснены индуктивным влиянием метильных групп. Величина и знак эффектов в этом случае определяется величиной и знаком

ызменения π-электронной плотности на том атоме углерода, к которому присоединена СН₃-группа, при переходе ион-радикала в возбужденное состояние. Вследствие этого для разных электронных переходов могут на-

блюдаться разные по величине и даже по знаку эффекты.

Указанием на важность индуктивного механизма в случае ион-радикалов антрацена может служить сопоставление полученных для 9,10-ди-MeA+ сдвигов со сдвигами в спектре A^- при образовании комплексов с катионами металлов (14). Гипсохромный эффект в 9,10-диМеA+ свидетельствует, с точки зрения индуктивного механизма, об увеличении электронной плотности в положения 9 и 10 при переходе A^+ в возбужденное состояние (так как присутствие CH_3 -групп, отталкивающих π -электроны, затрудняет такой переход). Согласно теореме парности (15), аналогичный переход в A^- должен сопровождаться уменьшением электронной плотности в этих положениях, поэтому присутствие катионов металлов должно затруднить этот переход и привести также к гипсохромному сдвигу, что и наблюдалось в (14).

Так как для ион-радикалов нафталина (1) характерны сдвиги длинноволновых полос в целом с сохранением вида колебательной структуры, то кажется вероятным, что полученные данные о неравномерных сдвигах полос в ион-радикалах антрацена свидетельствуют о принадлежности первых двух областей поглощения к двум разным электронным переходам.

Проведенные расчеты дали для энергий первых трех электронных переходов значения 14 600 (1,39), 18 200 (0,08) и 25 300 см-1 (0.61) соответственно (в скобках указаны квадраты моментов переходов), что согласуется с результатами других авторов (6 , 9 , 10). Первый переход должен быть поляризован вдоль длинной оси молекулы (x-поляризация), а два последующих — вдоль короткой оси (у-поляризация). Для первого и третьего переходов сопоставление с экспериментом не вызывает сомнения и является общенривятым - они соответствуют первой и третьей областям поглощения. Относительно второго перехода в литературе существует несколько точек эрения $(^2, ^3, ^6, ^{8-10})$. Согласно расчетам и поляризационным измерениям для A^- в $(^2, ^3)$, он приводит к поглощению в районе 11 000 см-1, а интенсивная полоса с хорошо выраженной колебательной структурой в районе $14\,000~{\rm cm^{-1}}$ должпа быть целиком отнесена к x-поляризованному переходу. Однако более точные расчеты (6 , 9 , 10) показали, что первый у-поляризованный переход должен иметь энергию не меньшую, а немного большую, чем первый х-поляризованный переход. На этом основании поглощение в области 11 000 см-1 было приписано запрещенному по симметрии переходу. Положение у-поляризованного перехода при этом оставалось неопределенным. Такая же интерпретация была принята для спектра катион-радикала в работе (в). Авторы работы (9), в которой были получены сравнительно хорошо разрешенные спектры А+ и А- в растворах, высказали мнение, что поглощение в области $16\,500-18\,000$ см $^{-1}$ следует отнести к y-поляризованному переходу. Наконец, в одной из более ранних работ (16), посвященной влиянию катионов металлов на спектры А-, полученные результаты объясиялись на основе предположения, что на малоинтепсивный, имеющий хорошо выраженную колебательную структуру переход в области 10 800-19 800 см-1 накладывается интенсивный, не имеющий колебательной структуры переход с максимумом в районе 13 700 см-1.

По нашему мнению, полученные в настоящей работе данные о сдвигах полос поглощения A^+ и A^- при метилировании свидетельствуют о том, что второму переходу соответствует вторая область поглощения в интервале длин волн от 450 до 650 мµ (22 000—15 000 см⁻¹), причем длиниоволновая граница второго перехода расположена под максимумами первой области. Возможно, что в случае A^- граница расположена даже в более длинноволновой области от 800 до 1000 мµ, согласно (², ¹6). Для окончательного решения вопроса требуются тщательные поляризационные измерения для второй области поглощения. Следует отметить также, что характерный вид колебательной структуры второй области является дополнительным аргументом в пользу высказанного утверждения, так как согласно проведенным расчетам второй переход соответствует у-поляризованному переходу в молекуле антрацена, ответственному за поглощение в районе 378—308 мµ с прекрасно выраженной колебательной структурой с интервалами 1400 см⁻¹. Такое сопоставление согласуется с данными по и.-к. спектрам А⁻ (17), из которых следует, что симметрия молекулы и характер основных колебаний не изменяются при переходе в ион-радикальную форму. Были вычислены также изменения электронной плотности для второго перехода. Наблюдающиеся на опыте сдвиги второй области при метилировании имеют направление, которое должно быть для второго перехода согласно расчетам.

Институт химической физики Академии паук СССР Москва Поступило 20 XI 1972

Институт теоретической физики Академии наук УССР Киев

ЦИТИРОВАННАЯ ЛИТЕРАТУРА

¹ В. А. Сажников, М. В. Алфимов и др., ДАН. 209, № 5 (1973). ² G. J. Hoijtink, P. J. Zandstra, Mol. Phys., 3, 371 (1960). ³ G. J. Hoijtink, N. H. Velthorst, P. J. Zandstra, Mol. Phys., 3, 533 (1960). ⁴ N. Christodouleas, W. H. Hammill, J. Am. Chem. Soc., 86, 5413 (1964). ⁵ T. Shida, W. H. Hamill, J. Chem. Phys., 44, 2375 (1966). ⁶ A. Hinchliff, J. N. Murrell, N. Trinaijstik, Trans. Farad. Soc., 62, 1362 (1966). ⁷ K. K. Brandes, R. J. Gerdes, Phys. Chem., 71, 508 (1967). ⁸ Z. H. Zaidi, B. N. Khanna, J. Chem. Phys., 50, 3291 (1969). ⁹ D. Distler, G. Hohlneicher, Ber. Bunsenges. phys. Chem., 74, 960 (1970). ¹⁰ R. Zahradnik, P. Carsky, J. Phys. Chem., 74, 1240 (1970). ¹¹ B. А. Сажников, М. В. Алфимов, Ю. А. Кругляк, Теоретич. и эксп. хим., 9, № 3 (1973). ¹² B. Badger, B. Brocklehurst, Trans. Farad. Soc., 65, 2576 (1969). ¹³ Ю. А. Кругляк, Г. Г. Дядюша и др., Методы расчета электронной структуры и спектров молекул, Киев, 1969, гл. 3. ¹⁴ К. Н. J. Buschow, J. Dieleman, G. J. Hoijtink, J. Chem. Phys., 42, 1993 (1965). ¹⁵ A. D. McLachlan, Mol. Phys., 2, 271 (1959). ¹⁶ N. S. Hush, J. R. Rowlands, Mol. Phys., 6, 201 (1963). ¹⁷ И. Я. Качкурова, Теоретич. и эксп. хим., 3, 498 (1967).